

1/19

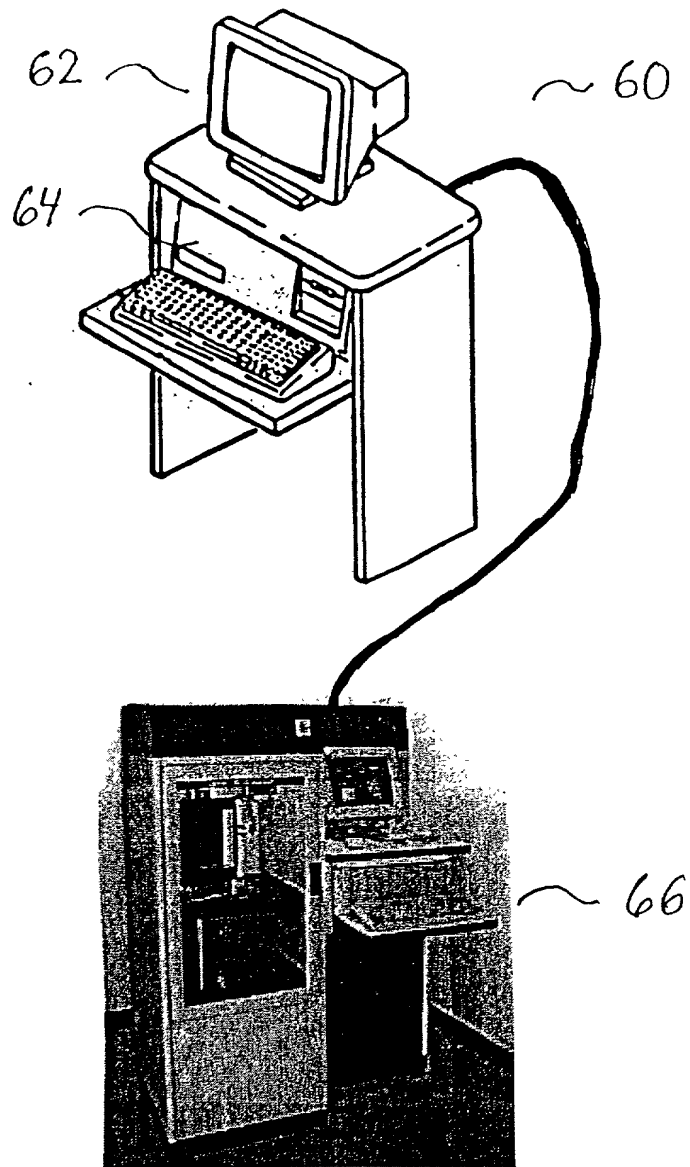


Fig. 1

2/19

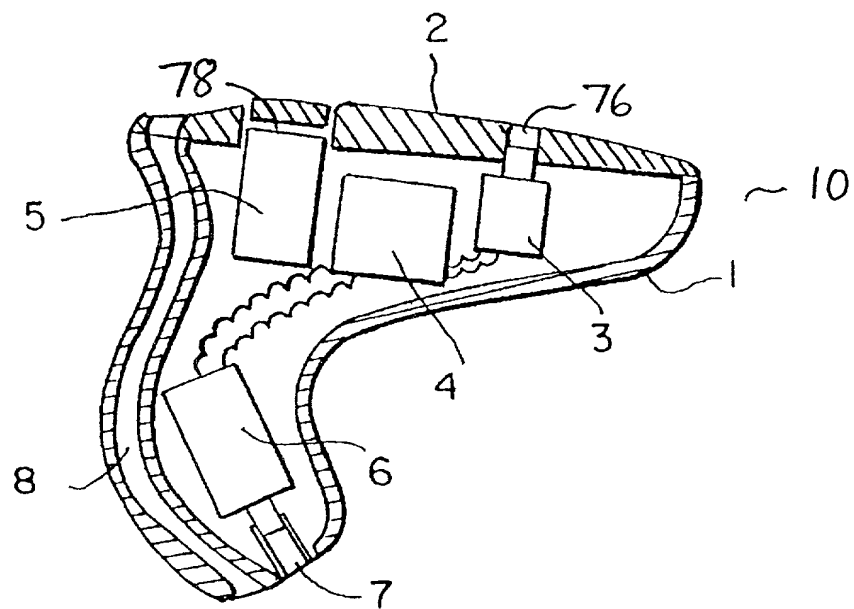


Fig. 2

3/19

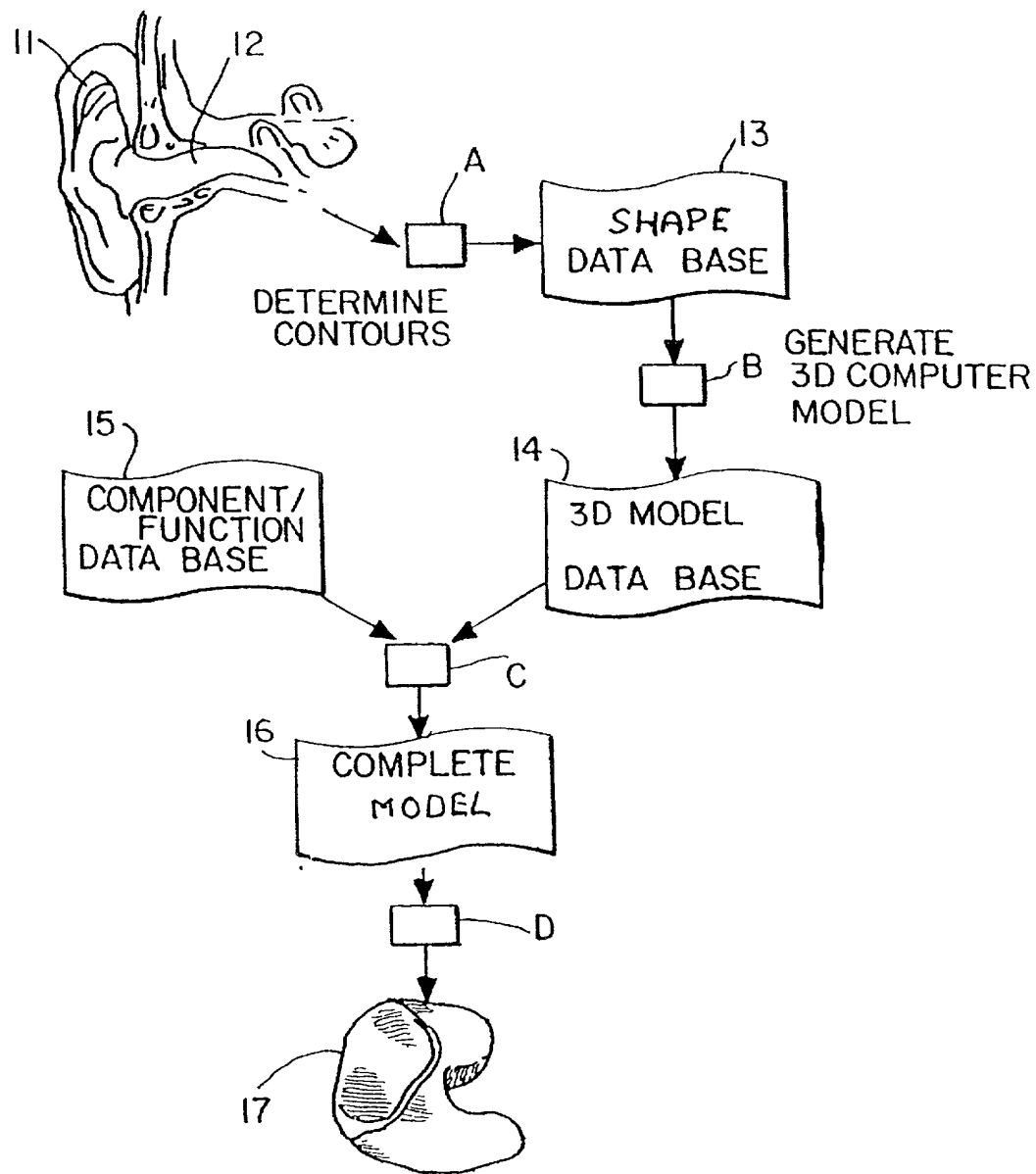


Fig. 3

4/19

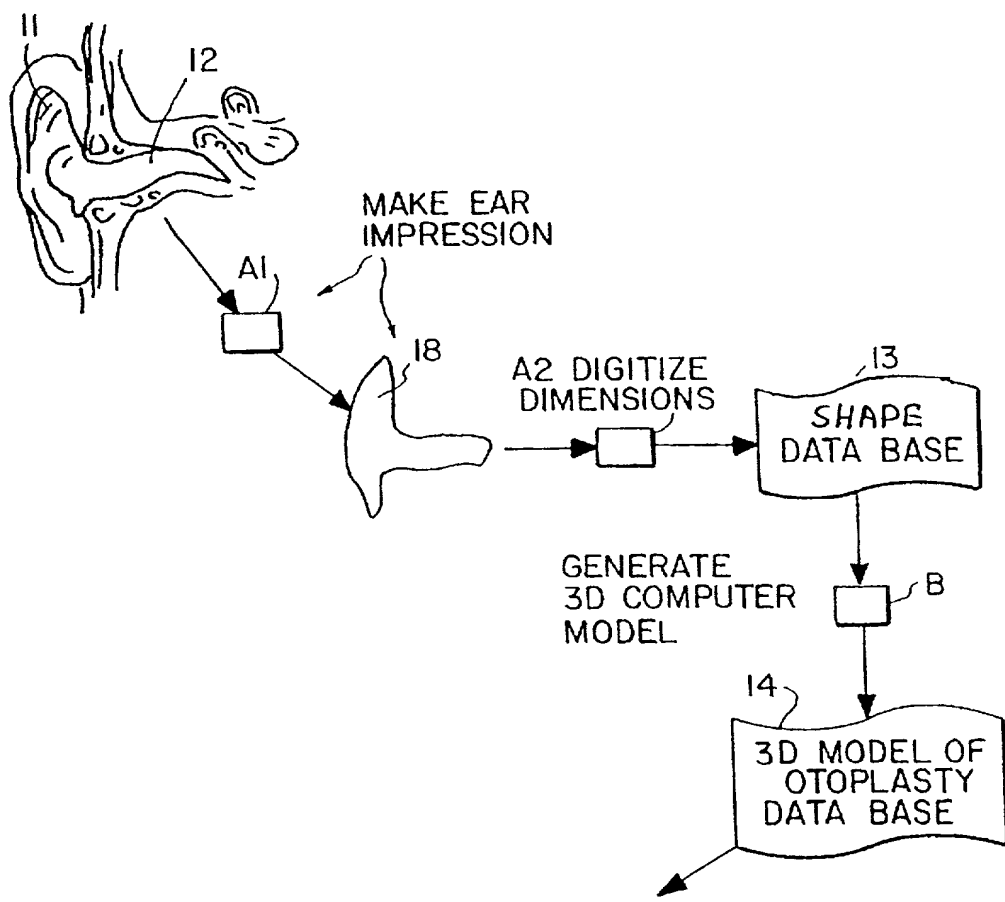


Fig. 4

5/19

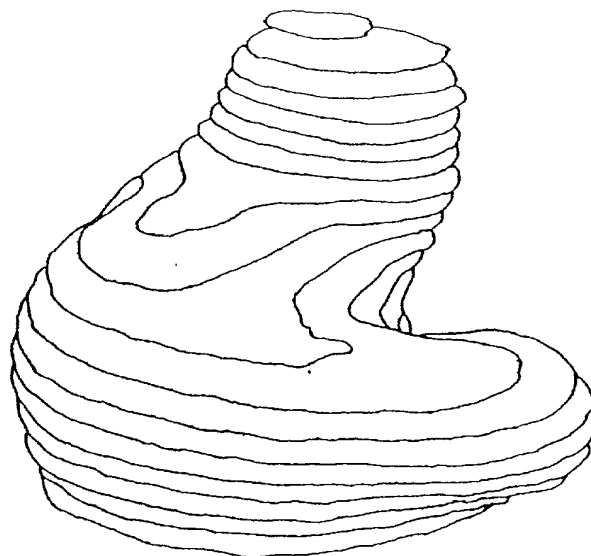


Fig. 5

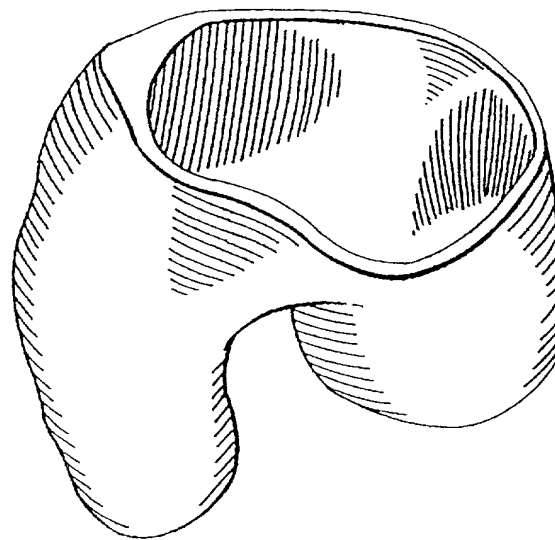


Fig. 6

6/19

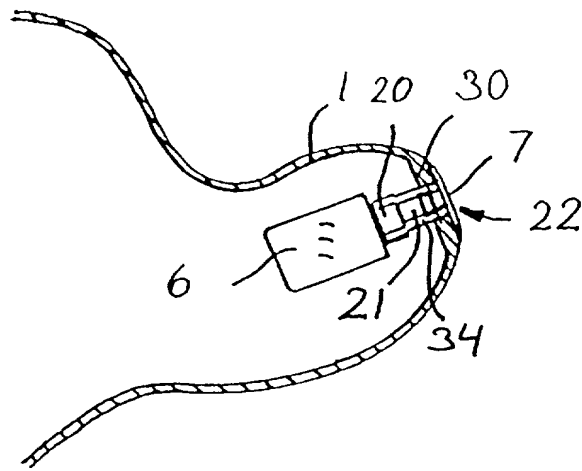


Fig. 7

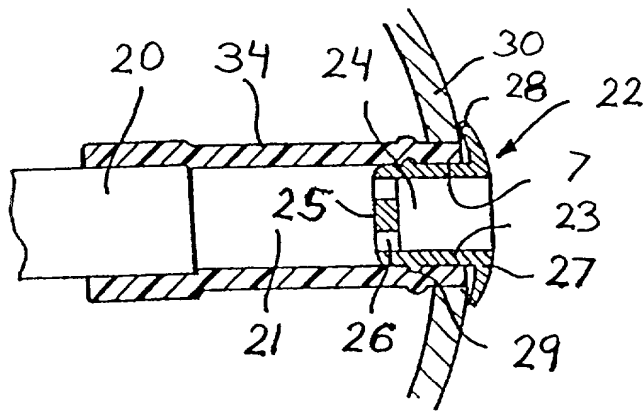


Fig. 8

7/19

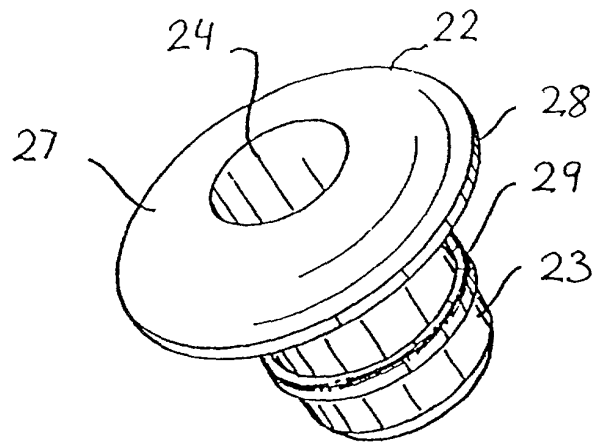


Fig. 9

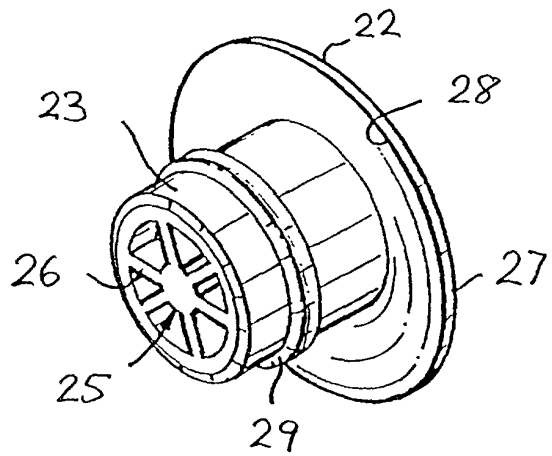


Fig. 10

8/19

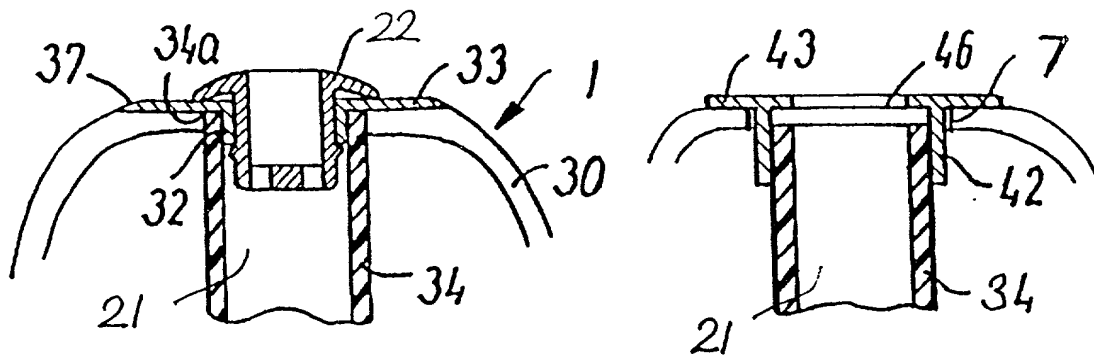


Fig. 11

Fig. 12

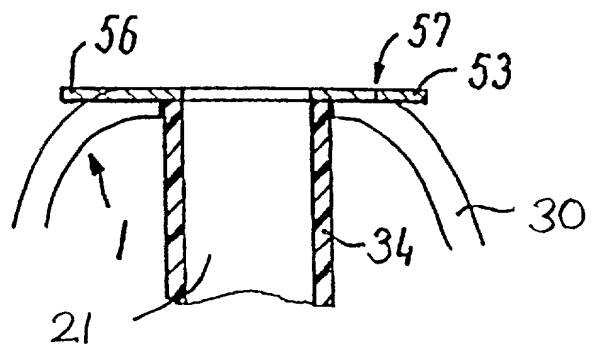


Fig. 13

9/19

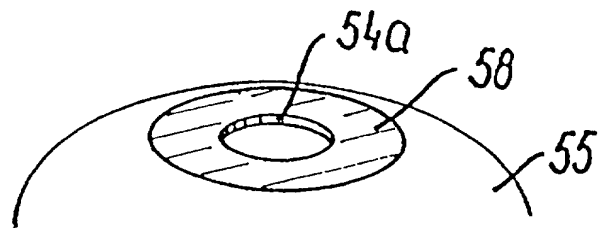


Fig. 14

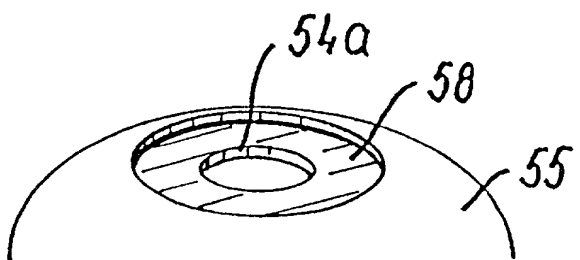


Fig. 15

10/19

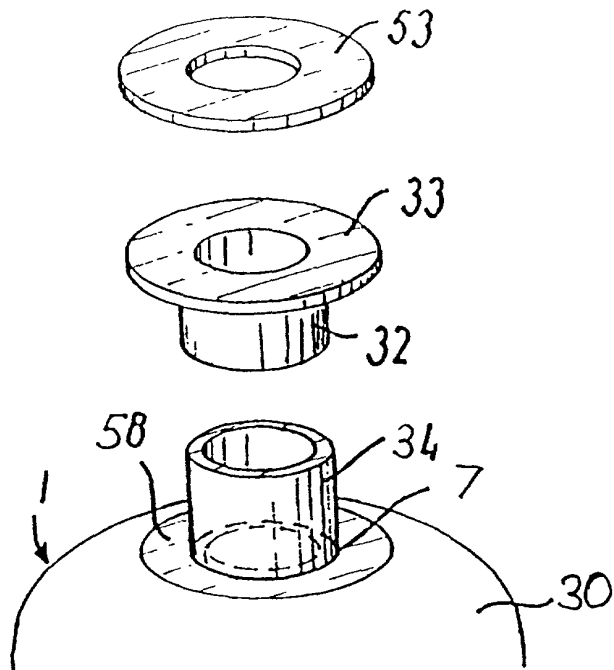


Fig. 16

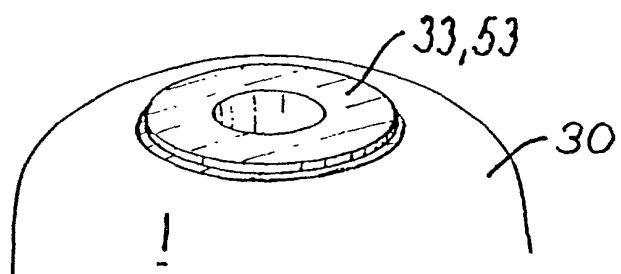


Fig. 17

11/19

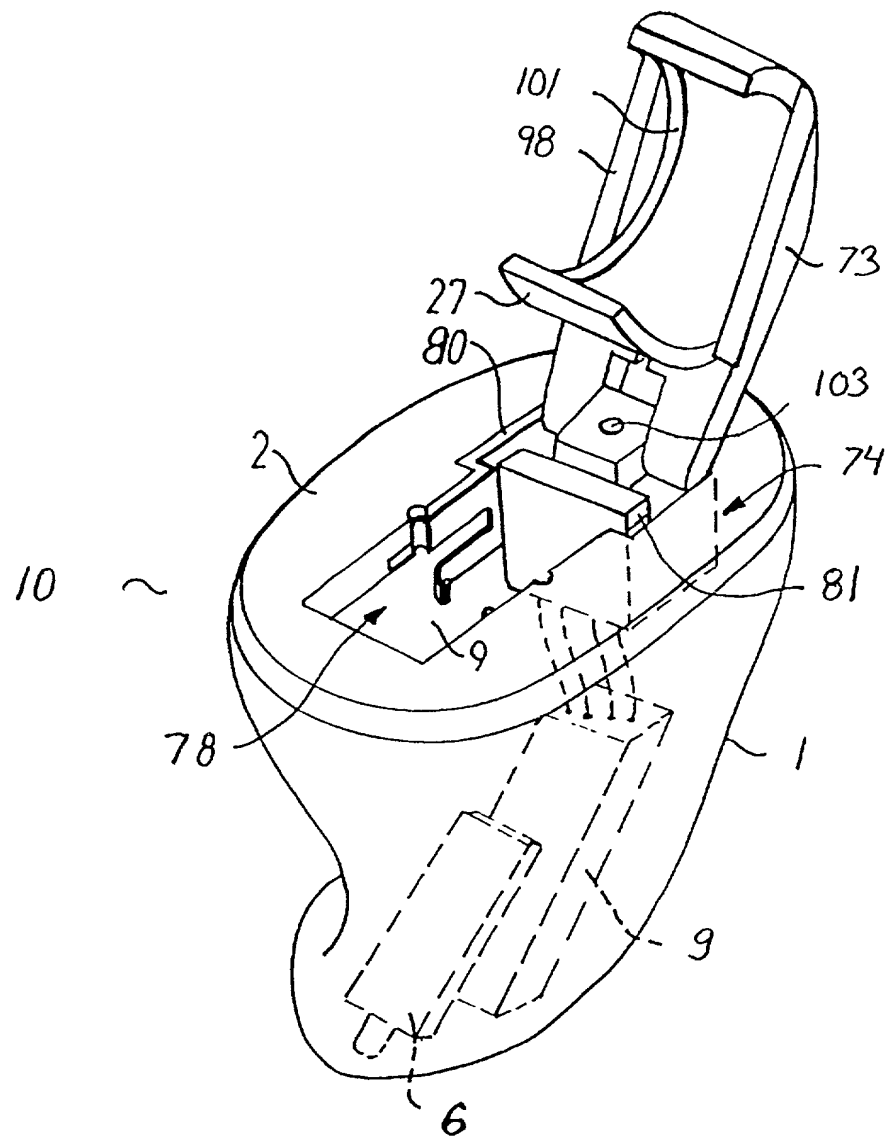


Fig. 18

12/19

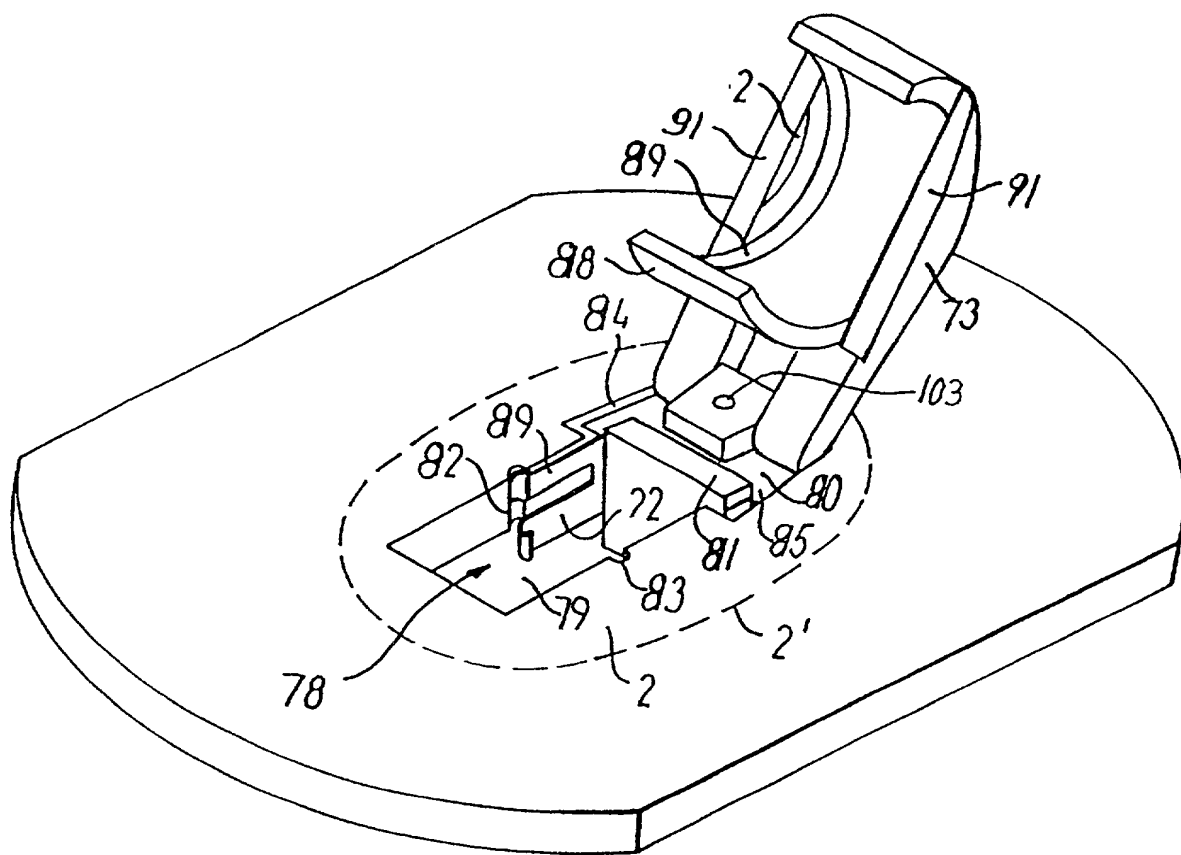


Fig. 19

13/19

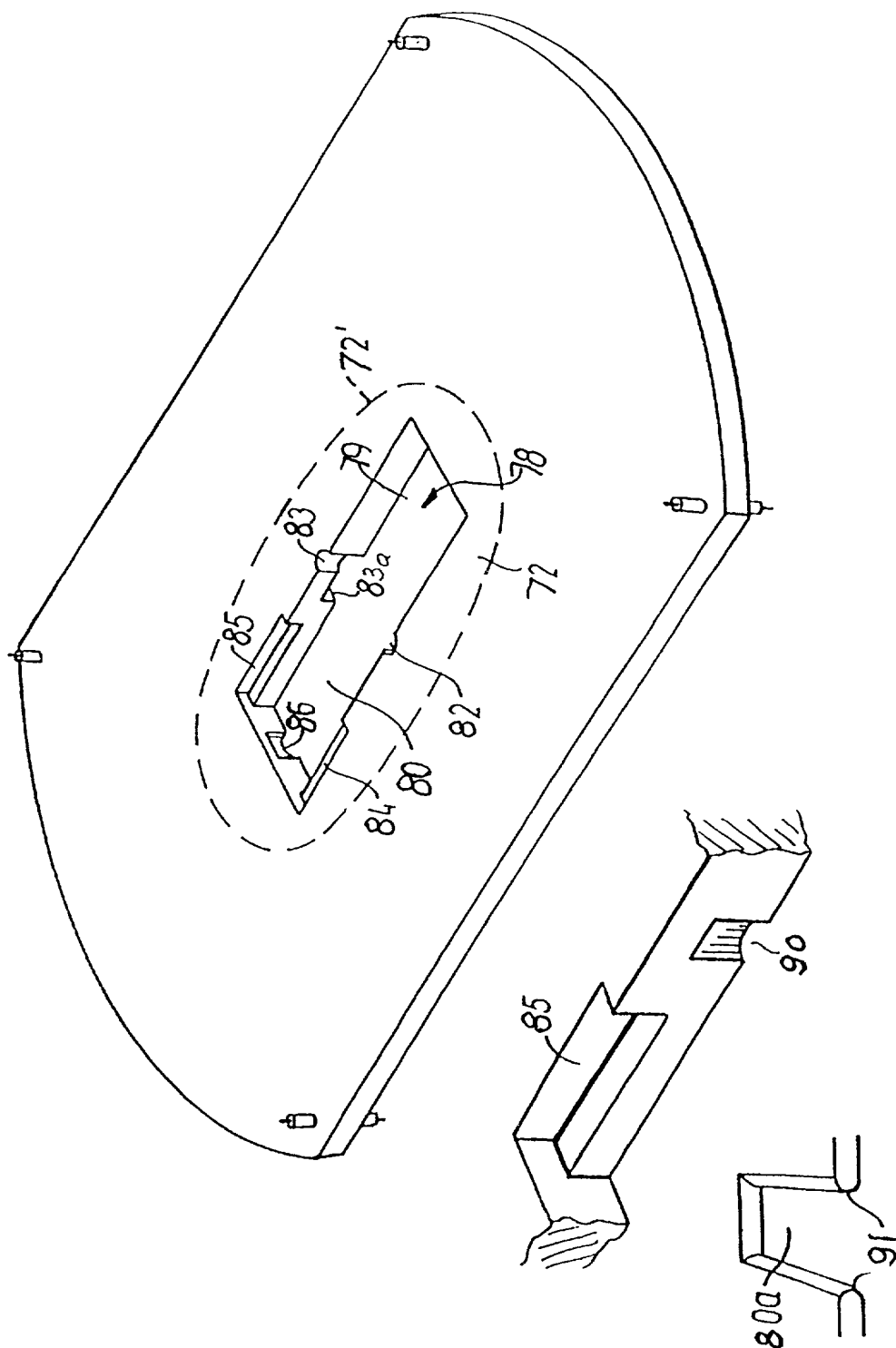
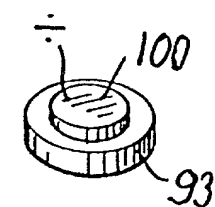
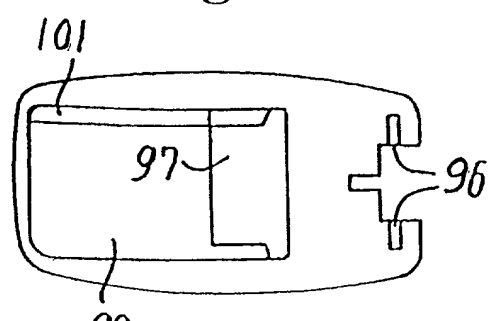
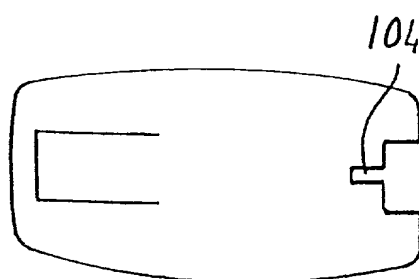
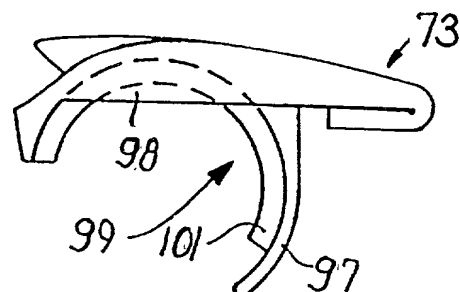
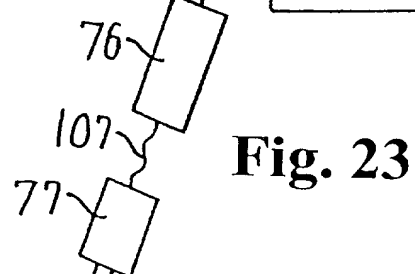
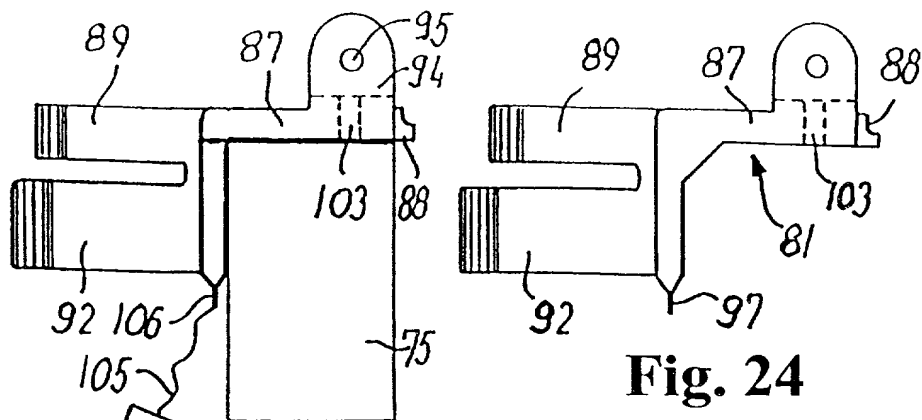


Fig. 20

Fig. 21

Fig. 22

14/19



15/19

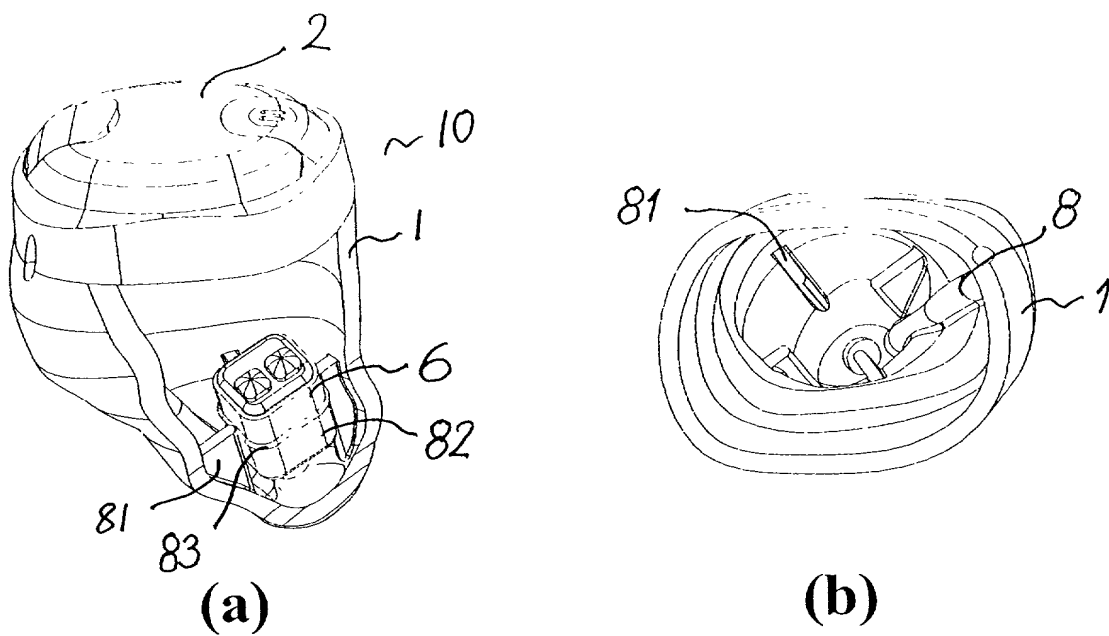


Fig. 29

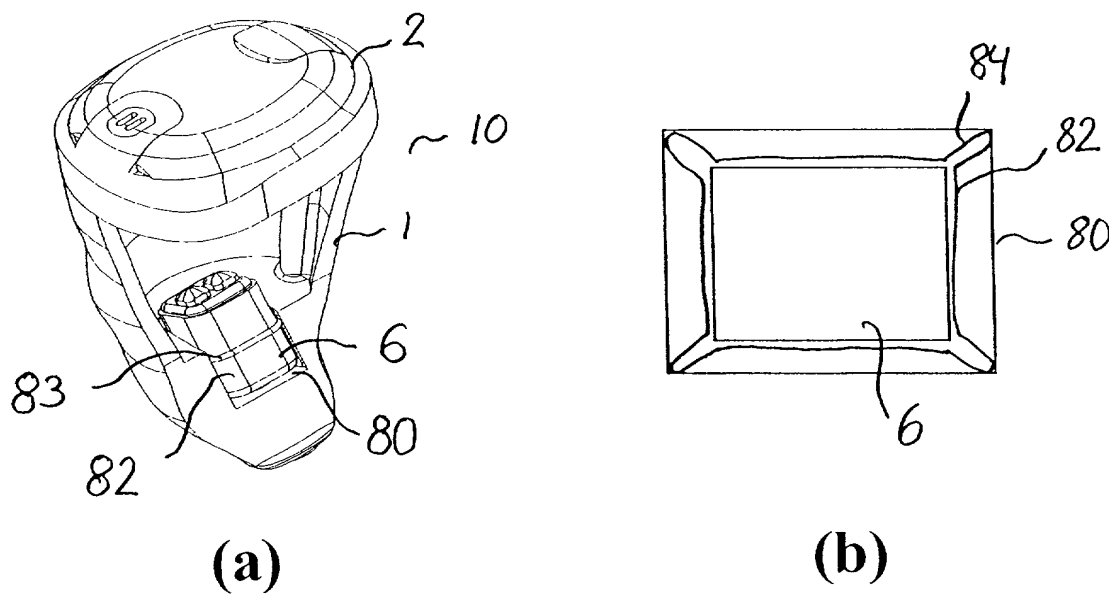
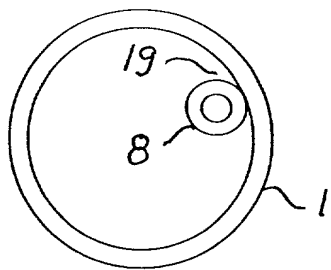
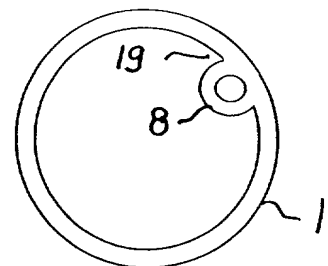


Fig. 30

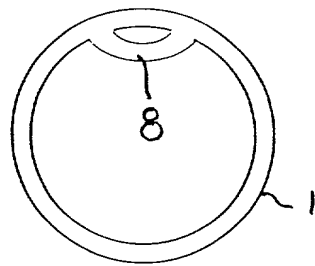
16/19



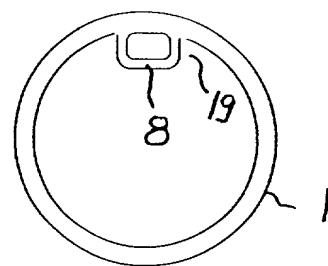
(a)



(b)



(c)



(d)

Fig. 31

17/19

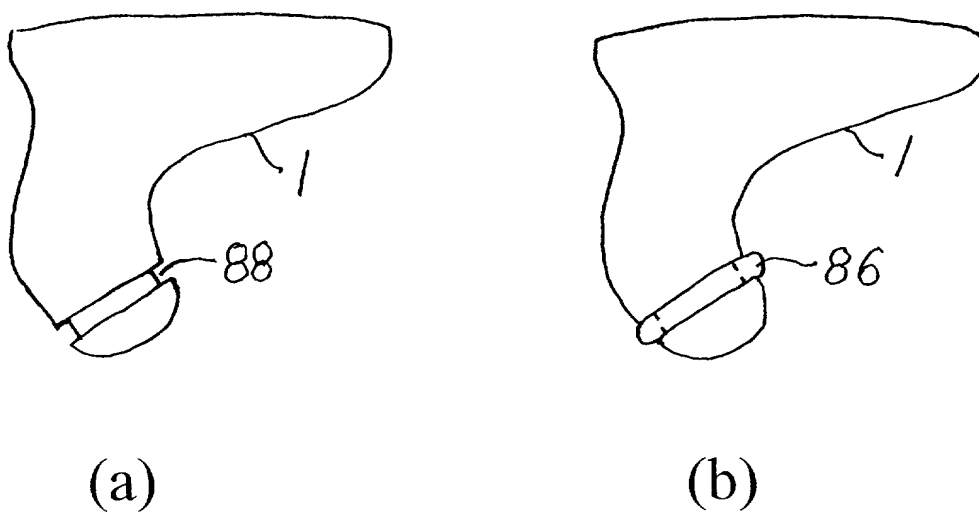


Fig. 32

18/19

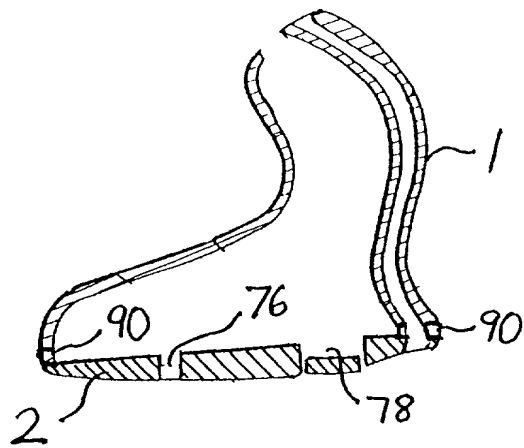


Fig. 33

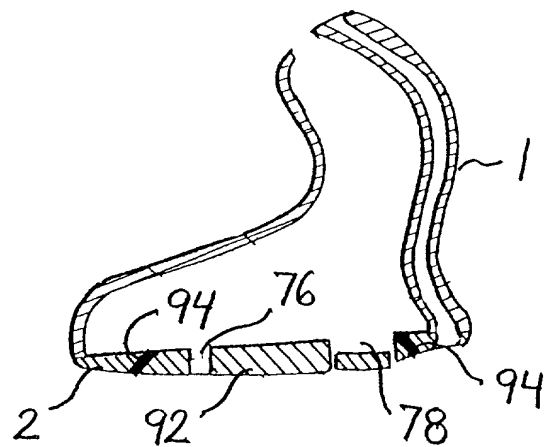


Fig. 34

19/19

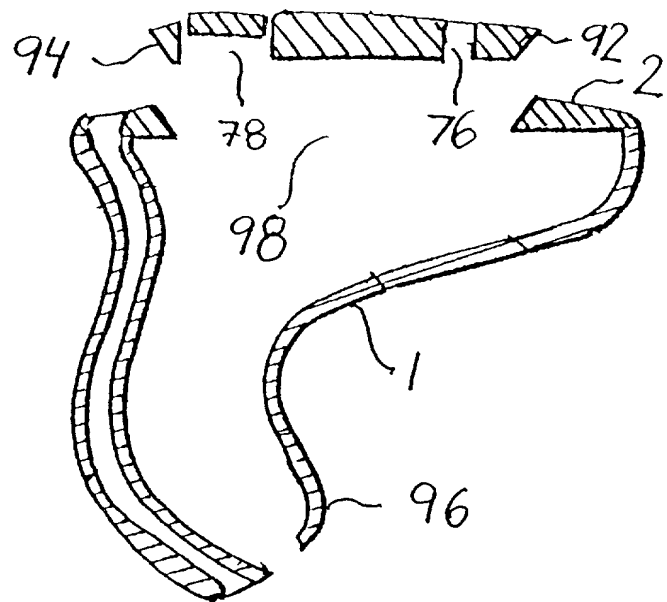
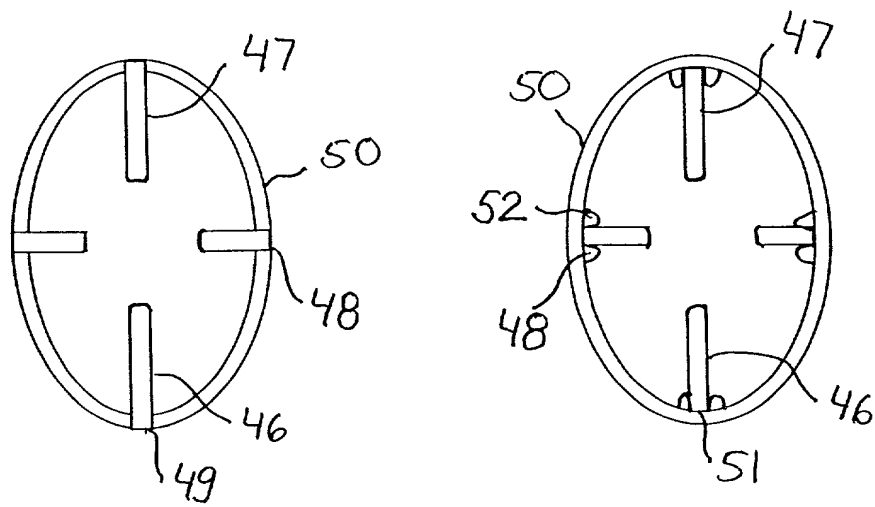


Fig. 35



(a)

(b)

Fig. 36